

УДК 523.4

## Астероид 1627 Ивар. $UBV$ -фотометрия, период и направление вращения

Д. Ф. Лупишко, Ф. П. Величко, В. Г. Шевченко

В течение пяти ночей в июле—августе 1985 г. впервые проведена детальная фотометрия астероида 1627 Ивар. Получены кривые блеска, фазовая зависимость блеска, показатели цвета астероида. Анализ результатов наблюдений показал, что астероид Ивар вращается в прямом направлении с периодом  $P_{syn}=4.7979 \pm 0.0001^h$  и имеет сильно вытянутую форму. Проанализирована фазовая зависимость блеска, сделаны оценки размера и вытянутости астероида.

*ASTEROID 1627 IVAR. UBV PHOTOMETRY, PERIOD AND SENSE OF ROTATION, by Lupishko D. F., Velichko F. P., Shevchenko V. G.—During 5 nights in July—August 1985 a detailed photometry of 1627 Ivar was carried out for the first time. Light curves, magnitude-phase relation, colour indexes were obtained. The results of observations show that Ivar has a very elongated form and prograde rotation with the period  $P_{syn}=4.7979 \pm 0.0001^h$ .*

Настоящая работа — продолжение программы фотоэлектрической фотометрии астероидов, осуществляющейся в Астрономической обсерватории Харьковского университета для изучения их геометрических (форма, размеры), динамических (скорость и направление вращения, ориентация оси вращения в пространстве) и оптических (блеск, цвет, альбедо, рассеивающие свойства поверхности) характеристик. Такие исследования дают конкретную информацию о каждом отдельном объекте, а также позволяют расширить наши представления о поясе астероидов в целом и дополнить имеющиеся статистические данные, используемые при решении космогонических и других вопросов.

Астероид 1627 Ивар, поперечник которого составляет всего несколько километров,— представитель группы Амура, в перигелии приближается к орбите Земли на расстояние 0.12 а. е. [2]. Имеются данные о цвете Ивара [11], величине радиометрического альбедо и спектральной отражательной способности [6]. По значениям показателей цвета Ивар предварительно классифицирован как S-астероид. Однако подробных фотометрических исследований его (с получением кривых блеска, фазовых зависимостей блеска и цвета, оценкой параметров вращения и др.) до настоящего времени не было.

Наблюдения Ивара проведены в июле—августе 1985 г. на 70-см рефлекторе АЗТ-8 АО ХГУ в системе, близкой к стандартной  $UBV$ , с использованием фотоэлектрического фотометра, работающего в режиме счета фотонов. Средняя квадратичная погрешность одного измерения для  $V=10-11^m$  составляет  $\sigma_V=0.015^m$  при времени накопления сиг-

Таблица 1. Характеристики звезд сравнения

Звезда сравнения	$\alpha_{1980}$	$\delta_{1980}$	$V$	$B-V$	$U-B$
<i>a</i>	23 <sup>h</sup> 21.0 <sup>m</sup>	6°25'	11.50 <sup>m</sup>	0.88 <sup>m</sup>	0.71 <sup>m</sup>
<i>b</i>	23 26.5	6 05	10.32	—	—
<i>c</i>	0 16.4	1 10	11.82	—	—
<i>d</i>	0 54.5	—4 50	11.99	—	—
<i>e</i>	1 04.1	—6 50	10.89	—	—
HD 219 829	23 16.3	5 08	8.00	0.83	0.43

нала  $t=30$  с. В течение ночи наблюдения проводились с одной звездой сравнения, которая выбиралась не далее чем в  $30'$  от астероида. Значения блеска и показателей цвета звезд сравнения, полученные в результате привязки их к стандарту HD 219 829 [3], даны в табл. 1. Координаты некаталогизированных звезд на эпоху 1950.0 взяты по звездному атласу [10].

В табл. 2 приведены эфемеридные данные астероида для среднего (за ночь) момента наблюдений — эклиптические координаты  $\lambda, \beta$ , гелио- и геоцентрические расстояния  $r, \Delta$ , фазовый угол  $\alpha$ .

**Кривые блеска и фотометрические параметры.** Условия видимости Ивара позволяли проводить наблюдения только во второй половине но-

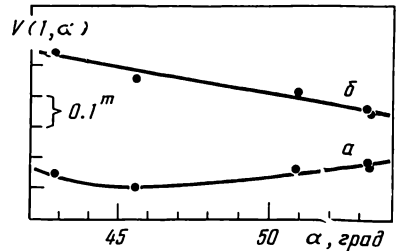
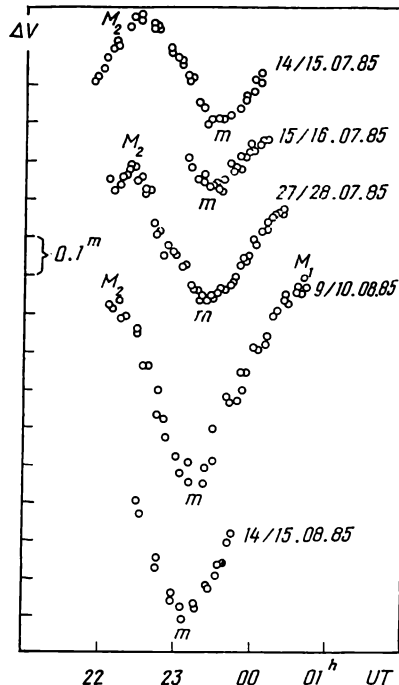


Рис. 2. Наблюденная часть фазовой зависимости блеска астероида 1627 Ивар. Точками показаны значения  $V(1, \alpha)$ , полученные с учетом изменения амплитуды кривой блеска

Рис. 1. Кривые блеска астероида 1627 Ивар

чи в течение не более 2.5 ч. Поэтому измерить вариации блеска в интервале полного периода вращения не удалось. На рис. 1 приведены полученные кривые блеска Ивара.

Табл. 3 содержит измеренные значения фотометрических параметров астероида — блеска  $V(1, \alpha)$  в минимуме кривой блеска  $m$ , показателей цвета  $B-V$  и  $U-B$  и амплитуд  $M_1-m$  и  $M_2-m$  (рис. 1). Большая амплитуда кривой блеска (не менее  $0.51^m$ ) свидетельствует о значительной вытянутости астероида. Заметим, что при других углах аспекта (угол между осью вращения астероида и лучом зрения) амплитуда может быть еще больше. Так, Цельнер и др. [11] отмечали изменение звездной величины Ивара на  $0.66^m$  за время наблюдения 45 мин. При этом изменения цвета с вращением астероида не обнаружены.

Таблица 2. Эфемеридные данные Ивара

Средний момент наблюдения, 1985 UT	$\lambda_{1980}$ , град	$\beta_{1980}$ , град	$r$ , а. е.	$\Delta$ , а. е.	$\alpha$ , град
Июль 14.954	353.81	9.76	1.1240	0.2008	53.25
Июль 15.988	354.79	8.95	1.1242	0.2008	53.17
Июль 27.969	4.24	-0.60	1.1326	0.2061	50.82
Август 9.975	10.61	-9.96	1.1566	0.2210	45.52
Август 14.958	12.00	-13.06	1.1694	0.2295	42.80

Поскольку ориентация оси вращения астероида в пространстве не известна, то оценить отношение осей его фигуры пока не представляется возможным. Можно лишь утверждать, что если форму астероида представить эллипсоидом вращения, то при амплитуде  $\Delta m \geq 0.66^m$  отношение двух осей этого эллипса составит не менее 1.8.

Изменение амплитуды кривой блеска  $M_2 - m$  за период наблюдений составило  $0.19^m$ . Такое большое изменение объясняется прежде всего значительным изменением величины проекции наблюданной освещенной части вытянутого астероида на картинную плоскость вследствие быстрого движения его по небесной сфере.

Таблица 3. Результаты фотометрии Ивара

$V(1, \alpha)$	$B-V$	$U-B$	$m-M_1$	$m-M_2$	Звезда сравне- ния
14.43 $^m$	0.91 $^m$	0.52 $^m$	—	0.27 $^m$	<i>a</i>
14.42	—	—	—	—	<i>b</i>
14.44	—	—	—	0.35	<i>c</i>
14.50	—	—	$\geq 0.51^m$	0.46	<i>d</i>
14.45	—	—	—	—	<i>e</i>

Таблица 4. Моменты экстремумов кривой блеска Ивара

<i>J. D. (c) 2 446 200+</i>	
$M_2$	$m$
61.437 $^d$	61.478 $^d$
—	62.478
74.432	74.474
—	87.468
—	92.464
$\pm 0.002$	$\pm 0.002$

На рис. 2 (линия *a*) показан измеренный фазовый ход блеска Ивара в минимуме  $m$ . Обращает на себя внимание совершенно неожиданный характер изменения блеска астероида с углом фазы  $\alpha$ , который раньше не отмечался для других астероидов. Вместо обычного уменьшения происходит возрастание блеска с увеличением  $\alpha$ . Такой аномальный ход фазовой зависимости является результатом значительных аспектных изменений астероида в течение периода наблюдений, которые, в частности, привели к значительному увеличению амплитуды кривой блеска. Эти изменения обусловлены одновременным действием вытянутой формы астероида и изменения угла аспекта вследствие быстрого движения астероида по небесной сфере. Известно, что аспектные изменения больше влияют на блеск астероида в минимуме кривой блеска и гораздо меньше — в максимуме [7]. На рис. 2 (линия *b*) представлена фазовая зависимость блеска Ивара, соответствующая максимуму кривой блеска  $M_2$ . Ход ее качественно согласуется с фазовыми кривыми других астероидов и описывается линейной функцией  $V(1, \alpha) = -13.22 + 0.017 \alpha$ . При этом значение фазового коэффициента  $\beta_V = -0.017 + 0.002$  зв.вел/град оказалось одним из самых малых среди известных для астероидов [1]. Не исключено, что такое значение  $\beta_V$  частично обусловлено относительно высоким альбедо астероида  $p_V = 0.23$  [6] (например, астероид 44 Низа [TP1AD]), а также влиянием аспектных изменений на абсолютный блеск астероида. К сожалению, учесть это влияние, не зная ориентации оси вращения астероида, трудно.

Блеск астероида, экстраполированный на  $\alpha = 0^\circ$  и  $V(1, 0) = 13.22 \pm 0.10^m$ , тоже может быть занижен по этой же причине. Использование его вместе с  $p_V = 0.23$  дает оценку диаметра Ивара (6.3 км), которая совпадает с данными радиометрических измерений, упомянутых в работе [6]. Однако с учетом возможного завышения  $V(1, 0)$  реальный диаметр Ивара может быть больше на 1–2 км.

Измерения показателей цвета  $B-V$  и  $U-B$  проведены в максимуме кривой блеска  $M_2$  при  $\alpha = 53.25^\circ$ . Их значения (табл. 3) несколько отличаются от приведенных в работе [11] ( $B-V = 0.86^m$  и  $U-B = 0.45^m$  при  $\alpha = 9.7^\circ$ ), однако эти различия хорошо объясняются эффектом покраснения с углом фазы, характерным для S-астероидов [4].

**Период и направление вращения.** В табл. 4 представлены моменты экстремумов кривой блеска Ивара в юлианских днях, исправленные за световой промежуток. Как видно из табл. 4 и рис. 1, положение минимума  $t$  приходится практически на одно и то же время суток независимо от даты наблюдений. Если это один и тот же минимум кривой блеска Ивара, то данный факт свидетельствует о том, что период вращения астероида укладывается в 1 сут целое число раз. Анализ данных табл. 4 показал, что между любыми комбинациями однотипных моментов экстремумов укладывается целое число циклов продолжительностью 4, 4.8 и 6<sup>h</sup> с ошибкой не более 0.002<sup>h</sup>. Это означает, что на кривых

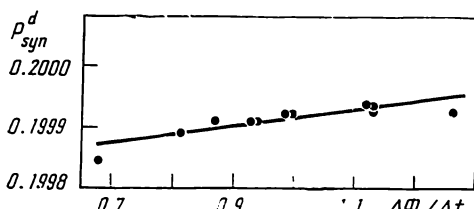


Рис. 3. Зависимость видимого периода вращения астероида 1627 Ивар от угловой скорости перемещения его по небесной сфере

блеска (рис. 1) зафиксирован действительно один и тот же минимум. Следовательно, нашим наблюдениям с высокой степенью точности удовлетворяют все три приведенные выше значения периода. Выбор между ними можно сделать, используя то, что для астероидов с большими амплитудами вариаций блеска с вращением характерны регулярные формы кривых блеска с симметричным расположением экстремумов по фазе вращения. Именно таковы относительно регулярные кривые у астероидов с большими амплитудами и короткими периодами [9] (например, кривая блеска астероида 201 Пенелопа [5]). Этому критерию лучше всего удовлетворяет период 4.8<sup>h</sup>.

Моменты экстремумов кривых блеска, как известно, содержат также информацию о направлении вращения астероида вокруг оси. Рис. 3 иллюстрирует результаты определения направления вращения Ивара методом анализа кривых блеска одного противостояния [8]. Он показывает изменение синодического периода вращения астероида в зависимости от угловой скорости перемещения астероида по небесной сфере  $\Delta\Phi/\Delta t$  в соответствии с выражением

$$P_{syn} = P \pm (\Delta\Phi/\Delta t) (P^2/360),$$

где  $P$  — истинный, т. е. сидерический период вращения.  $P_{syn}$  вычисляется, исходя из экстремумов  $t$  и  $M_2$  для всех возможных в наших наблюдениях интервалов времени  $\Delta t$ . Знак тангенса угла наклона этой регрессии определяется направлением вращения астероида. Положительный наклон прямой (рис. 3) свидетельствует о том, что астероид 1627 Ивар вращается в прямом направлении. При этом знак тангенса не зависит от того, какому значению периода отдано предпочтение. Однако ближе всего к наблюдаемому наклону находится расчетное значение тангенса угла наклона, соответствующее  $P=4.8^h$ , что можно считать еще одним свидетельством в пользу этого значения периода вращения.

Таким образом, вращение астероида 1627 Ивар происходит в прямом направлении с наиболее вероятным значением периода  $P_{syn}=4.7979 \pm 0.0001^h$ .

- Лушишко Д. Ф., Бельская И. Н. Результаты астрофизических исследований астероидов. I (обзор) // Астрон. вестн.—1982.—16, № 4.—С. 195—208.
- Симоненко А. Н. Астероиды.—М.: Наука, 1985.—204 с.
- Blanco V. M., Demers S., Douglass G. G. et al. Photoelectric catalogue magnitudes and colors of stars in the U, B, V and U<sub>c</sub>, B, V systems // Publs U. S. Nav. Observ. 2nd series.—1968.—21.—Р. 1—772.

4. *Bowell E., Lumme K.* Colorimetry and magnitudes of asteroids. Asteroids / Ed. T. Gehrels.—Tucson; Arizona: Arizona Univ. press, 1979.—P. 132—169.
5. *Lagerkvist C.-I., Rickman H., Scaltriti F., Zappala V.* Physical studies of asteroids. VI. Asteroid 201 Penelope, a fast rotator // Astron. and Astrophys.—1981.—104, N 1.—P. 148—149.
6. *McFadden L. A., Gaffey M. J., McCord T. B.* Mineralogical-petrological characterization of near-Earth asteroids // Icarus.—1984.—59, N 1.—P. 25—40.
7. *Surdej A., Surdej J.* Asteroid lightcurves simulated by the rotation of a three-axes ellipsoid model // Astron. and Astrophys.—1978.—66, N 1.—P. 31—36.
8. *Taylor R. C., Tedesco E. F.* Pole orientation of asteroid 44 Nysa via photometric astrometry, including a discussion of the methods application and its limitation // Icarus.—1983.—54, N 1.—P. 13—22.
9. *Tedesco E. F., Zappala V.* Rotational properties of asteroids: correlation and selection effects // Ibid—1980.—43, N 1.—P. 33—50.
10. *Vehrenberg H.* Atlas stellarum 1950.0.—Dusseldorf; Treugesell, 1970.—352 p.
11. *Zellner B., Andersson L., Gradie J.* UVB-photometry of small and distant asteroids // Icarus.—1977.—31, N 4.—P. 447—455.

Астрон. обсерватория Харьков. ун-та им. А. М. Горького,  
Харьков

Поступила в редакцию  
13.12.85,  
после доработки 22.01.86

## РЕФЕРАТ ПРЕПРИНТА

УДК 523.94—355

### ПОКРОВНЫЙ ЭФФЕКТ И ЕГО ИЗМЕНЕНИЕ ПРИ ПЕРЕХОДЕ ЦЕНТР — КРАЙ НА ДИСКЕ СОЛНЦА / Осипов С. Н.

(Препринт / АН УССР, Ин-т теорет. физики; ИТФ-86—73Р)

На основе Льежского атласа солнечного спектра выведены покровные коэффициенты поглощения фраунгоферовыми линиями в спектре центра диска Солнца в области  $\lambda\lambda$  360—930 нм. При обработке данных в области  $\lambda\lambda$  360—685 нм, в которой масштаб условной шкалы интенсивностей Льежского атласа изменяется наиболее значительно, для исключения влияния ошибок, вносимых локальными возмущениями этой шкалы, интенсивности атласа были переведены в абсолютные энергетические единицы. Для этого использовались данные Неккела — Лабса о распределении энергии в спектре центра диска, имеющие высокую внутреннюю точность. При обработке атласа в области  $\lambda\lambda$  685—930 нм особое внимание уделялось учету влияния теллурических линий, для чего применялся специально разработанный метод.

На телескопах АЦУ-5 (Киев) и СЭФ-1 (ВНБ «Терскол», Сев. Кавказ) методом фотоэлектрического сканирования проведены наблюдения потемнения краю солнечного диска. Измерения выполнялись в 111 спектральных участках шириной 5 нм и дополнительно в 12 окнах континуума. Полученные данные исправлены за влияние флуктуаций прозрачности земной атмосферы, рассеянного света в спектрографе, в атмосфере и на зеркалах телескопа, а также замывания изображения диска Солнца. Результаты, полученные в равнинных и высокогорных условиях, хорошо согласуются между собой.

На основе этих данных исследовано изменение покровного эффекта при переходе центр — край на диске Солнца. Кроме того, получены покровные коэффициенты в спектре Солнца как звезды. Показано, что в среднем покровный эффект увеличивается к краю диска, достигая максимального значения в области  $\cos\theta=0.3—0.5$ . Однако в участках, включающих сильные линии ионизованного кальция и бальмеровской серии водорода, к краю наблюдается уменьшение покровных коэффициентов.